

## Klampaus nespūdaus plokščiojo srauto tekėjimo apie aerodinaminius NACA 2315 profilius analizė baigtinių elementų metodu

A. Šulskis\*, R. Barauskas\*\*

\*Kauno technologijos universitetas, Miekevičiaus 37, Kaunas, LT-3000, Lietuva, el. p.: Antanas.Sulskis@mf.ktu.lt

\*\*Kauno technologijos universitetas, Miekevičiaus 37, Kaunas, LT-3000, Lietuva, el. p.: Rimantas.Barauskas@mf.ktu.lt

### 1. Išvadas

Profilų aptekėjimo analizei naudojami analitiniai, skaitiniai ir eksperimentiniai metodai. Šie trys tyrimo būdai vys tarpusavyje glaudžiai susiję ir vienas kitą papildo. Atliekant daugumą stiprumo, aerotamprumo bei aerodinaminį skaičiavimų būtina žinoti ne tik aerodinaminiių aptekėjimo reikšmes, bet ir jų pasiskirstymą aerodinaminiam poveikiui.

Tiksliausią vaizdą apie aerodinaminį jėgų pasiskirstymą aptekamame paviršiuje padeda susidaryti eksperimentiniai metodai. Tačiau didžiausias jų trūkumas tas, kad reikalinga sudėtinga ir brangi įranga. Dažnai aerodinaminiių profilių projektavimo etape naudojami analitiniai metodai, tačiau jų matematinis aparatas labai sudėtingas ir ne naudojami tik paprastos geometrinės formos aerodinaminams profiliams tirti.

Vienas iš skaitinių metodų, naudojamų aerodinaminams profiliams tirti, yra baigtinių elementų metodas. Šio metodo pagrindu sudarytas skaitinis modelis leidžia išlikti kaip plokščias nespūdus klampus srautas apteka aerodinaminius profilius. Ivertinant srauto atitrūkimą, esant dideliems atakos kampams, galima nustatyti pagrindines profilio aerodinaminės charakteristikas ir aerodinaminį pasiskirstymą profilio kontūre, atsižvelgiant į turbulencijos pasienio sluoksnio įtaką. Taip pat šis modelis leidžia nustatyti slėgio, greičių, turbulencinės srauto energijos pasiskirstymo laukus aerodinaminio profilio aplinkoje.

Naudojant baigtinių elementų modelį, ištirta, kaip aptekamų plokščiu turbulenciniu srautu aerodinaminiai profilių NACA 2315 su įvairių tipų užsparniais, priešsparniu ir interceptoriu. Tyrimams atliliki buvo naudota baigtinių elementų metodo programų paketo ANSYS 5.5 priedas FLUENT.

### 2. Klampaus srauto judėjimo diferencialinės lygtys

Nespūdaus klampaus srauto judėjimas aprašomas Navijo-Stokso bei srauto nespūdumų lygtimis plokščio stacionarus srauto atveju [1]:

$$\left. \begin{aligned} u \frac{\partial u}{\partial x} + v \frac{\partial u}{\partial y} &= F_x - \frac{1}{\rho} \frac{\partial p}{\partial x} + \mu \left( \frac{\partial^2 V_x}{\partial x^2} + \frac{\partial^2 V_x}{\partial y^2} \right); \\ u \frac{\partial v}{\partial x} + v \frac{\partial v}{\partial y} &= F_y - \frac{1}{\rho} \frac{\partial p}{\partial y} + \mu \left( \frac{\partial^2 V_y}{\partial x^2} + \frac{\partial^2 V_y}{\partial y^2} \right); \\ \frac{\partial u}{\partial x} + \frac{\partial v}{\partial y} &= 0, \end{aligned} \right\} \quad (1)$$

čia  $u, v$  - srauto greičio komponentės;  $F_x, F_y$  - svorio jėgų komponentės;  $V_x, V_y$  - srauto greičio komponentės;

$\mu = \nu_p$  - dinaminis srauto klampumo koeficientas,  $\rho$  - srauto tankis,  $\nu$  - kinematinis srauto klampumo koeficientas. Turbulentinio klampumo koeficiente reikšmės apskaičiuojamos pagal tokia išraišką [1]:

$$\mu_t = C_\mu \frac{\kappa^2}{\varepsilon}, \quad (2)$$

čia skaičiavimuose naudojama konstantos reikšmė  $C_\mu = 0.09$ ;  $\kappa$  - turbulencinio srauto kinetinė energija;  $\varepsilon$  - turbulencinio srauto kinetinės energijos išsisklaidymo greitis. ANSYS/FLOTTRAN programų paketas turbulencinio srauto parametru  $\kappa$  ir  $\varepsilon$  reikšmėms nustatyti naudoja standartinį  $\kappa$ - $\varepsilon$  dviejų lygių modelį [2]:

$$\left. \begin{aligned} \rho \left( \bar{u} \frac{\partial \kappa}{\partial x} + \bar{v} \frac{\partial \kappa}{\partial y} + \bar{w} \frac{\partial \kappa}{\partial z} \right) &= \frac{\partial}{\partial x} \left( \frac{\mu_t}{\sigma_\kappa} \frac{\partial \kappa}{\partial x} \right) + \\ &+ \frac{\partial}{\partial y} \left( \frac{\mu_t}{\sigma_\kappa} \frac{\partial \kappa}{\partial y} \right) + \frac{\partial}{\partial z} \left( \frac{\mu_t}{\sigma_\kappa} \frac{\partial \kappa}{\partial z} \right) + \mu G + \rho \varepsilon; \\ \rho \left( \bar{u} \frac{\partial \varepsilon}{\partial x} + \bar{v} \frac{\partial \varepsilon}{\partial y} + \bar{w} \frac{\partial \varepsilon}{\partial z} \right) &= \frac{\partial}{\partial x} \left( \frac{\mu_t}{\sigma_\varepsilon} \frac{\partial \varepsilon}{\partial x} \right) + \\ &+ \frac{\partial}{\partial y} \left( \frac{\mu_t}{\sigma_\varepsilon} \frac{\partial \varepsilon}{\partial y} \right) + \frac{\partial}{\partial z} \left( \frac{\mu_t}{\sigma_\varepsilon} \frac{\partial \varepsilon}{\partial z} \right) + C_1 \mu_t \frac{\varepsilon}{\kappa} G - C_2 \rho \frac{\varepsilon^2}{\kappa}, \end{aligned} \right\} \quad (3)$$

čia  $G$  aprašo kinetinės energijos susidarymą:

$$G = 2 \left( \left( \frac{\partial \bar{u}}{\partial x} \right)^2 + \left( \frac{\partial \bar{v}}{\partial y} \right)^2 + \left( \frac{\partial \bar{w}}{\partial z} \right)^2 \right) + \left( \frac{\partial \bar{u}}{\partial x} + \frac{\partial \bar{v}}{\partial y} + \frac{\partial \bar{w}}{\partial z} \right)^2. \quad (4)$$

Konstantų reikšmės  $C_1 = 1.44$ ,  $C_2 = 1.92$ ,  $\sigma_\kappa = 1.0$ ,  $\sigma_\varepsilon = 1.3$  parinktos eksperimentiškai ir taikytinos daugumoje praktinių skaičiavimų [3].

### 3. Pasienio sluoksnio įtakos ivertinimas

Prie aptekamo kūno paviršiaus susidaro sluoksnis, kuriamo srauto greitis kinta nuo nulio prie pat paviršiaus iki laisvo srauto greičio. Pasienio sluoksnis pasižymi didelėmis greičio gradiento reikšmėmis aptekamo paviršiaus normalės kryptimi, dėl to tenka ivertinti vidinės trinties jėgą  $\tau$  [4, 5]. Srauto greitis  $u_{tan}$  pasienio sluoksnje lygiagretus aptekamo kūno paviršiui [3]:

$$u_{tan} = \sqrt{\frac{\tau}{\rho k}} \ln \left( \frac{E \rho \delta}{\mu} \sqrt{\frac{\tau}{\rho}} \right), \quad (5)$$

čia  $k=0.4$  - universali turbulencinio srauto konstanta;  $\delta$  - pasienio sluoksnio storis;  $E$  - pasienio sluoksnio konstanta (skaičiavimuose naudota reikšmė  $E = 1$ ). Diferencialinė Prändlių srauto judėjimo turbulenciniame pasienio sluoksnuje lygtis [1]:

$$\rho \bar{u} \frac{\partial \bar{u}}{\partial x} + \rho \bar{v} \frac{\partial \bar{u}}{\partial y} = -\frac{\partial p}{\partial x} + \frac{\partial}{\partial y} \left( \mu \frac{\partial \bar{u}}{\partial y} - \rho \bar{u}' \bar{v}' \right), \quad (6)$$

čia

$$\bar{u}' \bar{v}' = -l^2 \left( \frac{d \bar{u}}{dy} \right)^2. \quad (10)$$

#### 4. Baigtinių elementų modelis

Aerodinaminių profilių aptekėjimui modeliuoti buvo sudarytas baigtinių elementų modelis. Jis leidžia nustatyti pagrindines aerodinaminių profilių charakteristikas, srauto greičių ir slėgių laukų išsidėstymą profilio aplinkoje, srauto dalelių judėjimo trajektorijas bei slėgio profilio kontūre reikšmes.

Iprastine baigtinių elementų metodui tvarka apskaičiuojamos greičių komponentės, slėgio, turbulencinio srauto kinetinės energijos, ir kinetinės energijos išskaidymo elementų mazguose reikšmės. Keliamosios jėgos  $Y$ , pasipriešinimo jėgos  $X$ , sukimo momento  $M_z$  reikšmės gaunamos integruojant slėgio reikšmes tuose mazguose, kurių elementai liečiasi su profilio kontūru [4]:

$$Y = \int_0^l (p_a - p_v) dy, \quad (11)$$

$$X = \int_0^l (p_a - p_v) dx, \quad (12)$$

$$M_z = \int_0^l (p_a - p_v) x dx, \quad (13)$$

čia  $l$  - profilio stygos ilgis;  $p_a$  - slėgis į apatinę profilio dalį;  $p_v$  - slėgis į galinę profilio dalį.

Programoje ANSYS/FLOTTRAN slėgio reikšmėms profilio kontūro elementų mazguose integruoti naujojama komanda INFSTF,PRES [3]. Apskaičiuojamos pagrindinės profilio aerodinaminės charakteristikos: keliamosios jėgos koeficientas  $C_y$ , pasipriešinimo jėgos koeficientas  $C_x$ , bei sukimo momento koeficientas  $C_m$ :

$$C_x = \frac{2X}{\rho V^2 S}, \quad (14)$$

$$C_y = \frac{2Y}{\rho V^2 S}, \quad (15)$$

$$C_m = \frac{2M_z}{\rho V^2 S l}, \quad (16)$$

čia  $S$  - aptekamo kūno paviršiaus plotas;  $\rho$  - srauto tankis.

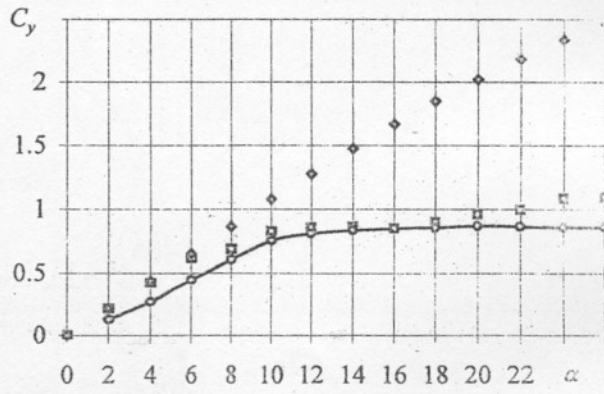
Modelis sudarytas erdvėje ( $10 \times 10$  profilio stygos ilgio [5]) aplink nagrinėjamąjį kūną suskaidant į keturkampius aukštesnės eilės FLUID 141 tipo baigtinius elementus, turinčiu po aštuonis mazgus. Pasienio sluoksnuje naudojami pasienio elementai. Elementai, esantys prie aptekamo kūno kontūro, programoje ANSYS/FLOTTRAN automatiš-

kai įvertinami kaip pasienio elementai. Elementai, esantys pasienio sluoksnuje, yra gerokai smulkesni negu elementai, esantys laisvo srauto zonoje. Priklausomai nuo atakos kampo baigtinių elementų dydis pasienio sluoksnuje kinta: esant atakos kampui  $\alpha = 0^\circ \text{--} 10^\circ$ , elemento santykinis ilgis, palyginti su profilio chorda  $= 1/300$ , esant kritiniams atakos kampams, kai  $\alpha \approx 20^\circ$ , šis santykis  $- 1/500$ . Priklausomai nuo diskretizacijos, baigtinių elementų skaičius modelyje svyrauso nuo 34000 iki 44000. Baigtinių elementų tinkliukas buvo generuojamas laisva forma. Priklausomai nuo uždavinio konvergavimo skaičiavimo iteracijų skaičius 800 - 2500.

Kraštines sakygas šiame modelyje lemia srauto išėjimo greičio komponentės ir srauto išėjimo slėgio dydžiai bei srauto greičio komponentės aptekamo kūno kontūre: išėjimo greičio komponentės ( $v_x = v_\infty$ ,  $v_y = 0$ ,  $v_\infty$  - laisvo srauto greitis), išėjimo slėgio reikšmė  $p_{out} = 0$ ; greičio komponentės ant aptekamo kūno kontūro  $v_x = 0$ ,  $v_y = 0$ . Srauto fizinių savybių nusakomas srauto tankiu  $\rho$  ir dinaminiu klampumo koeficientu  $\mu$ .

#### 5. Modelio patikrinimas

Skaitinio modelio skaičiavimų teisingumui patikrinti buvo atliktas stačiakampės plokštėlės CAGI-600 (matmenys:  $150 \times 750$  mm) tyrimas [7]. Plokštėlė pasirinkta todėl, kad dėl paprastos formos gerokai supaprastėja skaičiavimai konforminio atvaizdavimo metodu. Aptekėjimo tyrimas atliktas esant šioms sakygoms: Reinoldso skaičius  $Re = 350000$ , oro tankis  $\rho = 1.225 \text{ kg/m}^3$ , laisvo srauto greitis  $v_\infty = 34 \text{ m/s}$ , išėjimo slėgis  $p_{out} = 0$ . Atakos kampo kitimų diapazonas  $\alpha = 0^\circ \text{--} 26^\circ$ .

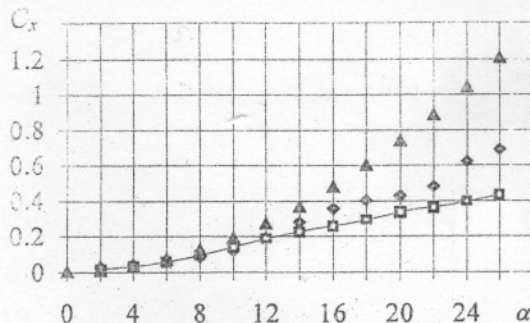


1 pav Plokštėlės keliamosios jėgos koeficiente  $C_y$  priklauso mybės nuo atakos kampo  $\alpha$ ,  $\diamond$  - konforminio metodo;  $\square$  - baigtinių elementų metodo skaičiavimų rezultatai;  $\triangle$  - eksperimento duomenys

Baigtinių elementų metodu gauti rezultatai palyginti su rezultatais, gautais analitiniu konforminio atvaizdavimo metodu [6], bei su eksperimento rezultatais, gautais aerodinaminiame vamzdje [7].

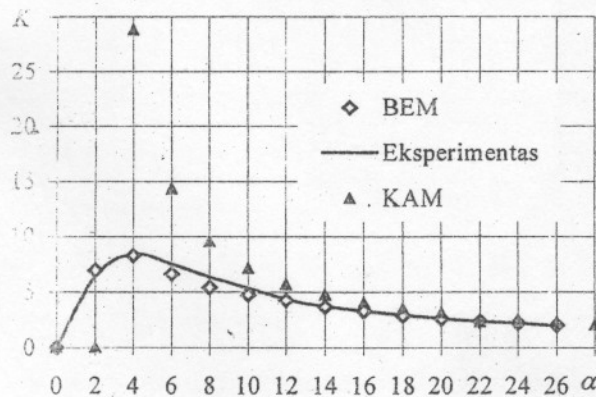
Stačiakampės plokštėlės aerodinaminės keliamosios jėgos koeficiente  $C_y$  priklauso mybė nuo atakos kampo  $\alpha$  parodyta 1 pav. Atvaizduotame grafike matyti, kad esant nedidelies atakos kampams baigtinių elementų metodu (BEM) ir konforminio atvaizdavimo metodu (KAM) gauti rezultatai nedaug skiriasi nuo eksperimentinių. Prašokus kritinį atakos kampą, matyti, kad baigtinių elementų metodu skaičiuotos  $C_y$  reikšmės labiau atitink-

eksperimentinės reikšmes nei gautos konforminio atvaizdavimo metodu, mat skaičiuojant konforminio atvaizdavimo metodu, neįvertinamas pasienio sluoksnio atitrūkimo virčiaus prasėokus kritinių atakos kampą.



2 pav. Plokštėlės pasipriešinimo jėgos koeficiente  $C_x$  priklausomybė nuo atakos kampo  $\alpha$ ;  $\blacktriangle$  - konforminio metodo;  $\diamond$  - baigtinių elementų metodo skaičiavimų rezultatai;  $\square$  - eksperimento duomenys

Plokštėlės aerodinaminio pasipriešinimo jėgos koeficiente  $C_x$  priklausomybė nuo srauto atakos kampo  $\alpha$  parodyta 2 pav. Grafike matyti, kad, esant kritiniams atakos kampams, baigtinių elementų metodu gautos reikšmės  $C_x$  labiau atitinka eksperimentinės reikšmes nei gautas konforminio atvaizdavimo metodu.

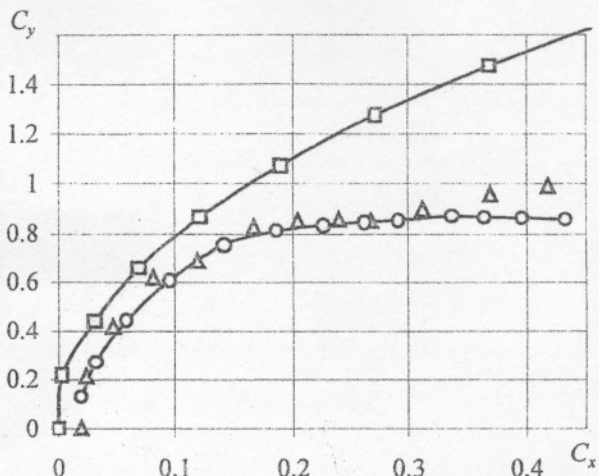


3 pav. Plokštėlės aerodinaminės kokybės  $K$  priklausomybė nuo atakos kampo  $\alpha$

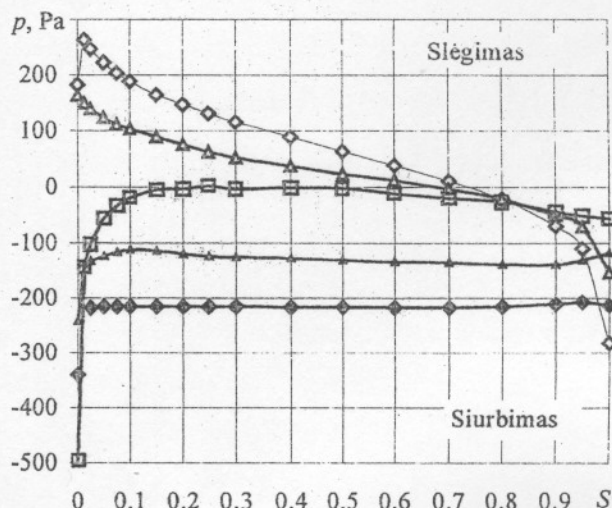
Santykio tarp aerodinaminės keliamosios jėgos koeficiente  $C_y$  ir pasipriešinimo jėgos koeficiente  $C_x$  priklausomybė (aerodinaminė profilio kokybė  $K=C_y/C_x$ ) nuo atakos kampo  $\alpha$  atvaizduota 3 pav. Šiame grafike matyti, kad, esant mažesniems atakos kampams, reikšmės gautos baigtinių elementų metodu yra kur kas artimesnės eksperimentinėms, nei reikšmės gautos konforminio atvaizdavimo metodu gautos reikšmės.

4 pav. parodyta Lilentalio poliarė, kurioje atvaizduota keliamosios jėgos  $C_y$  priklausomybė nuo pasipriešinimo jėgos koeficiente  $C_x$ . Šiame grafike akivaizdžiai matyti, kad baigtinių elementų metodu gautos reikšmės artimesnės eksperimentinėms reikšmėms nei konforminio atvaizdavimo metodu gautos reikšmės.

Slėgio pasiskirstymas, apskaičiuotas baigtinių elementų metodu plokštėlės paviršiuje esant įvairiems atakos kampams  $\alpha$ , atvaizduotas 5 pav. Viršutinėje plokštėlės dalyje susidaro siurbimas, apatinėje dalyje – slėgimas. Slėgių laukai plokštėlės aplinkoje atvaizduoti 6 pav.



4 pav. Plokštėlės plokštėlės Lilentalio poliarų palyginimas.  
 $\square$  - konforminio metodo;  $\blacktriangle$  - baigtinių elementų metodo skaičiavimų rezultatai;  $\diamond$  - eksperimento duomenys



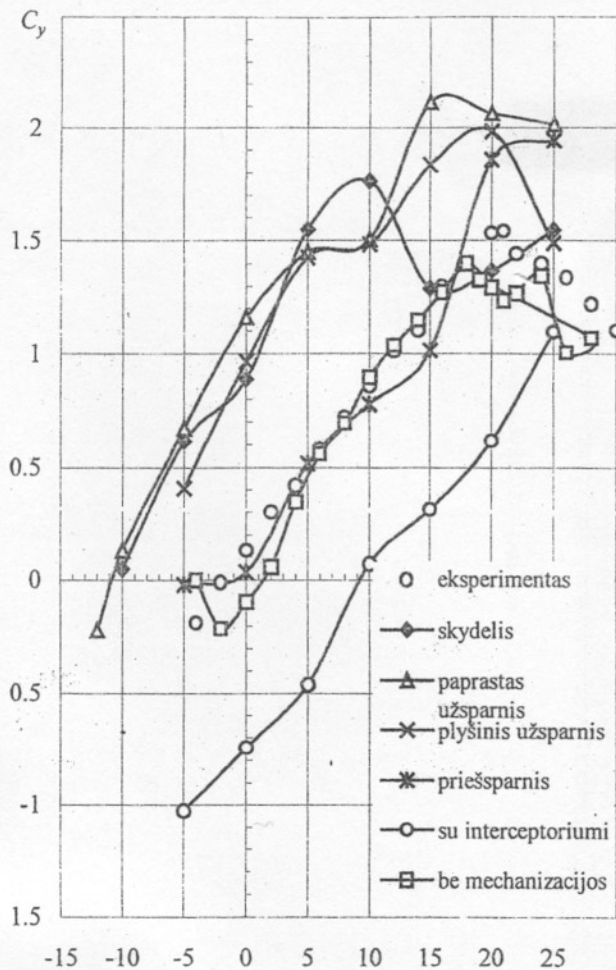
5 pav. Slėgio pasiskirstymas plokštėlės paviršiuje  $S$ , esant skirtiniams atakos kampams  $\alpha$ :  $\diamond$  -  $20^\circ$ ,  $\blacktriangle$  -  $15^\circ$ ,  $\square$  -  $0^\circ$



6 pav. Slėgio laukų pasiskirstymas plokštėlės aplinkoje, kai atakos kampus  $\alpha = 6^\circ$

Palyginus plokštėlės pagrindines aerodinaminės charakteristikas matyti, kad reikšmės, gautos baigtinių elementų metodu yra artimesnės eksperimentinėms nei

reikšmės, gautos konforminio atvaizdavimo metodu. Tai patvirtina išvadą, kad baigtinių elementų metodas yra tinkamas tirti, kaip klampus nespūdus srautas apteka aerodinaminius profilius.



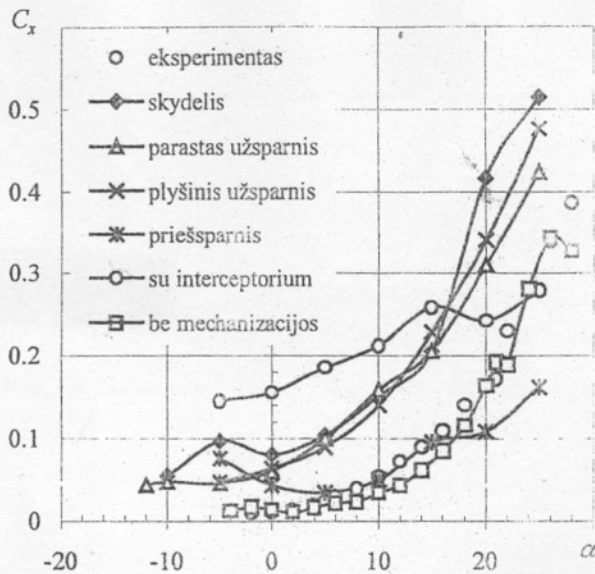
7 pav. NACA 2315 profilio su įvairia mechanizacija keliamosios jėgos koeficiente  $C_y$  priklausomybė nuo atakos kampo  $\alpha$

## 6. Tyrimo rezultatai

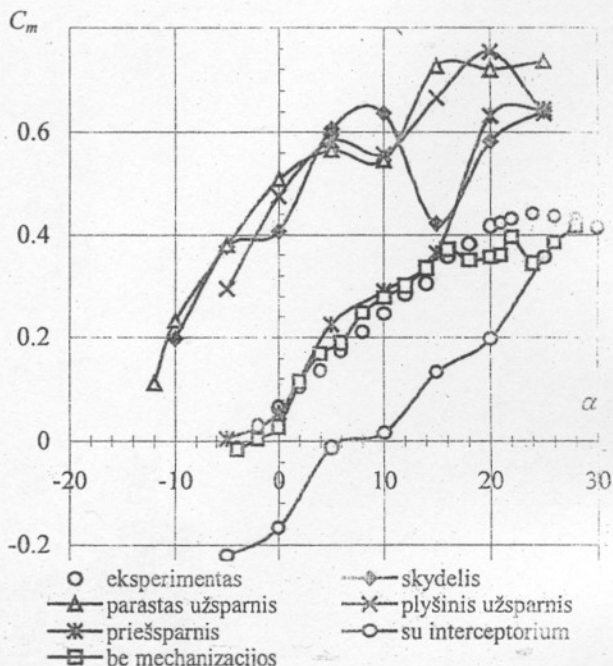
### 6.1. Aerodinaminio profilio NACA 2315 tyrimas

Aerodinaminio profilio pagrindinės geometrinės charakteristikos: stygos ilgis  $b = 1$  m, santykinis profilio aukštis  $C_{max} = 15\%$ , santykinis profilio kreivumas  $f_{max} = 0.02$ ; profilio storiavusios dalies padėtis priekinės briaunos atžvilgiu -  $x_c$ ; santykinis profilio kreivumas  $f_{max}$  - didžiausio atstumo tarp profilio vidurio linijos santykis su stygos ilgiu.

Profilio NACA 2315 geometrinės charakteristikos: stygos ilgis  $b = 1$  m, santykinis profilio aukštis  $C_{max} = 15\%$ , santykinis profilio kreivumas  $f_{max} = 0.02$ ; profilio storiavusios dalies padėtis priekinės briaunos atžvilgiu sudaro 30 % stygos ilgio. Pagrindinės profilio aerodinaminės charakteristikos yra keliamosios jėgos koeficientas  $C_y$ , pasipriešinimo jėgos koeficientas  $C_x$ , aerodinaminio sukimo momento koeficientas  $C_m$ . Sie koeficientai priklauso nuo daugelio veiksnių (atakos kampo, profilio geometrijos, Reinoldso skaičiaus, proilgio – sparno ilgio ir pločio san-



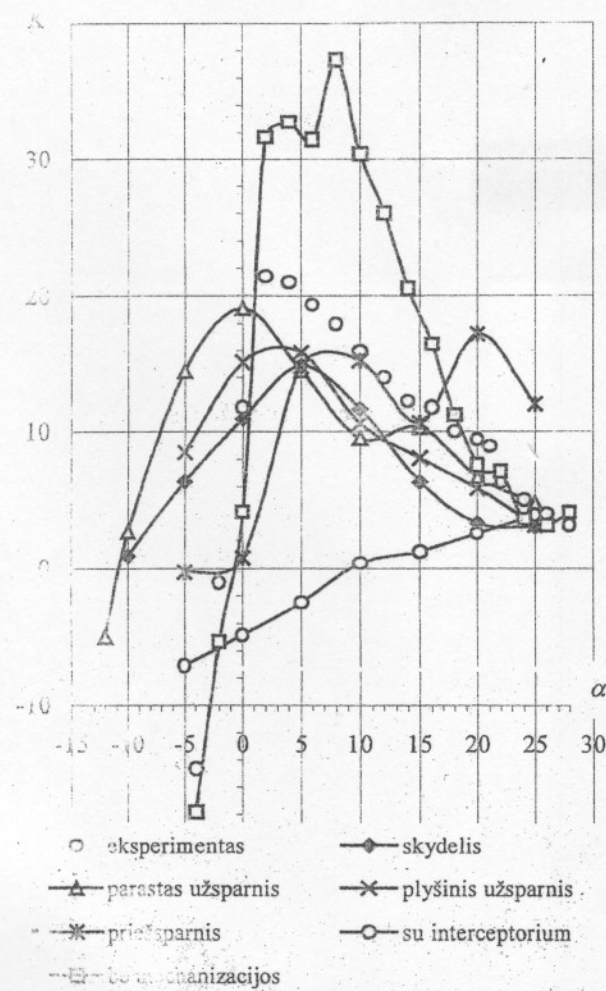
8 pav. NACA 2315 profilio su įvairia mechanizacija pasipriešinimo jėgos koeficiente  $C_x$  priklausomybė nuo atakos kampo  $\alpha$



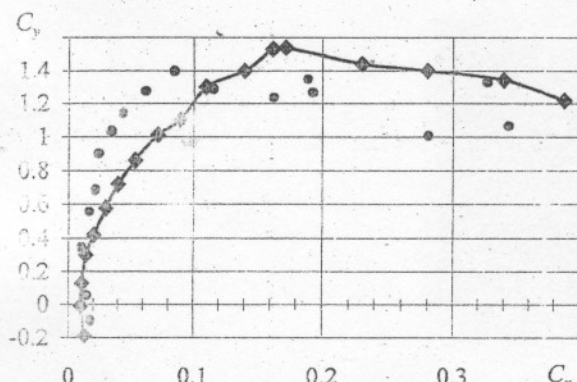
9 pav. NACA 2315 profilio su įvairia mechanizacija aerodinaminio sukimo momento koeficiente  $C_m$  priklausomybė nuo atakos kampo  $\alpha$

tykio ir kt.). Dažniausiai praktikoje profilio aerodinaminėms charakteristikoms apibūdinti naudojama koeficientas  $C_y$ ,  $C_x$  ir  $C_m$  priklausomybė nuo atakos kampo, esant tam tikram Reinoldso skaičiui.

Profilio NACA 2315 aerodinaminės charakteristikos: maksimalus keliamosios jėgos koeficientas  $C_{y\ max} = 1.62$ ; minimalus pasipriešinimo jėgos koeficientas  $C_{x\ min} = 0.0087$ ; sukimo momento koeficientas esant nulinėi keliamajai jėgai  $C_{m0} = 0.034$ ; maksimali aerodinaminė kokybė  $K = 22.6$ . Jėjimo greitis  $v_x = 21$  m/s,  $v_y = 0$  m/s; išejimo slėgis  $p=0$  Pa; Reinoldso skaičius  $Re = 3060000$ ; raudonė  $\rho = 1.225$  kg/m<sup>3</sup>; pasienio sluoksnio konstanta  $E\ EWIL = 1$ ; pasienio sluoksnio storio koeficientas  $y^+ TRAN = 1$  [3].

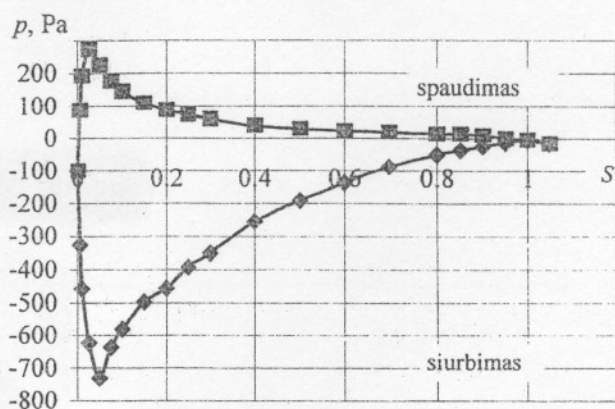


10 pav. NACA 2315 profilio su įvairia mechanizacija aerodinaminės kokybės  $K$  priklausomybė nuo atakos kampo  $\alpha$

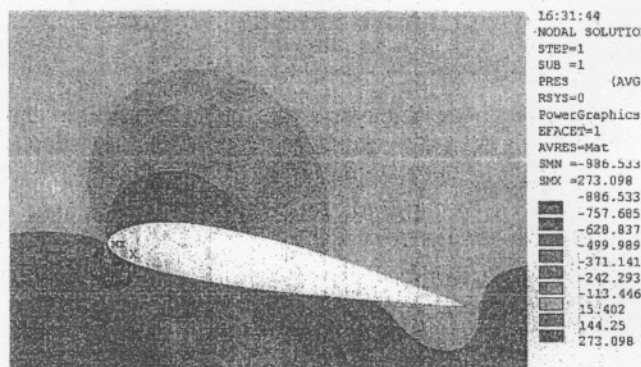


11 pav. NACA 2315 profilio Lilentalio poliarė. ● - baigtinių elementų metodo skaičiavimų rezultatai; ○ - eksperimento duomenys

Naudojant baigtinių elementų metodu pagrįstą kompiuterinę programą ANSYS/FLOTRAN, gauti šie rezultatai: keliamosios jėgos koeficiente  $C_y$  priklausomybė nuo atakos kampo  $\alpha$  (7 pav.), pasipriešinimo jėgos koeficiente  $C_x$  priklausomybė nuo atakos kampo  $\alpha$  (8 pav.), aerodinaminio sukimo momento  $C_m$  priklausomybė nuo atakos kampo  $\alpha$  (9 pav.), aerodinaminės kokybės  $K$  priklausomybė nuo atakos kampo  $\alpha$  (10 pav.), profilio Lilentalio poliarė (11 pav.) ir slėgio bei slėgio laukų pasiskirstymas profilio paviršiuje esant atakos kampui  $10^\circ$  (12 ir 13 pav.).



12 pav. Slėgio pasiskirstymas NACA 2315 profilio paviršiuje, kai atakos kampus  $\alpha = 10^\circ$



13 pav. Slėgio laukų pasiskirstymas profilio NACA 2315 aplinkoje, kai atakos kampus  $\alpha = 10^\circ$

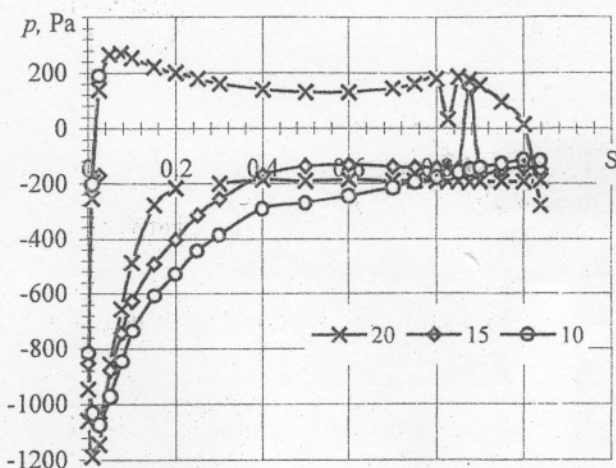
Palyginus baigtinių elementų metodu gautus  $C_x$  ir  $C_y$  rezultatus su eksperimento duomenimis, matyti, kad jie gana gerai sutampa [8]. 11 pav. pavaizduotos Lilentalio poliarės gautos naudojant baigtinių elementų metodą ir eksperimento duomenis.

## 6.2. NACA 2315 profilio su tūpimo skydeliu aptekėjimo tyrimas

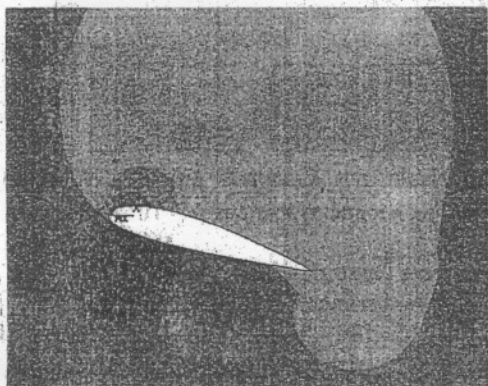
Tūpimo skydelis naudojamas keliamosios jėgos koeficiente  $C_y$  padidinimui. Keliamoji jėga padidėja dėl santykinio profilio kreivumo padidėjimo pakreipus skydelį tam tikru kampu  $\delta$  žemyn. Dėl to taip pat padidėja bendras profilio pasipriešinimo koeficientas  $C_x$  ir sukimo momento koeficientas  $C_m$ . Maksimali aerodinaminiame kokybė sumažėja. Kritinis atakos kampas sumažėja. Tyrimas buvo atliktas esant tai pačiai profilio geometrijai kaip ir NACA 2315 profilio. Tūpimo skydelio ilgis 20% profilio chordos ilgio, skydelio atsilenkimo kampus  $\delta = 30^\circ$ . Kraštinės aptekėjimo sąlygos tokios pat kaip ir tiriant profilio NACA 2315 aptekėjima.

Kai tūpimo skydelis atlenktas  $\delta = 30^\circ$ , palyginti su paprastu profiliu be tūpimo skydelio, aerodinaminės charakteristikos pasikeičia taip: maksimalus keliamosios jėgos koeficientas  $C_y$  padidėja nuo 1.54 iki 1.75 (13.6%) (7 pav.); minimalus pasipriešinimo jėgos koeficientas  $C_x$  padidėja 12.3% - nuo 0.01 iki 0.081 (8 pav.); lenkimo momento  $C_m$  reikšmė esant nulinei keliamajai jėgai padidėja 17% - nuo 0.034 iki 0.2 (9 pav.). Maksimali aerodinaminiame kokybė  $K$  sumažėja 30.7% - nuo 21.5 iki 14.9 (10 pav.). Kritinis atakos kampas sumažėja nuo  $21^\circ$  iki  $10^\circ$ .

Slėgio pasiskirstymas profilio kontūre, esant atakos kampams  $10^\circ$ ,  $15^\circ$  ir  $20^\circ$  pavaizduotas 14 pav. Slėgio laukai profilio aplinkoje atvaizduoti 15 pav.



14 pav. Slėgio pasiskirstymas NACA 2315 profilio su tūpimo skydeliu paviršiuje esant skirtiniems atakos kampams  $\alpha: 10^\circ, 15^\circ, 20^\circ$

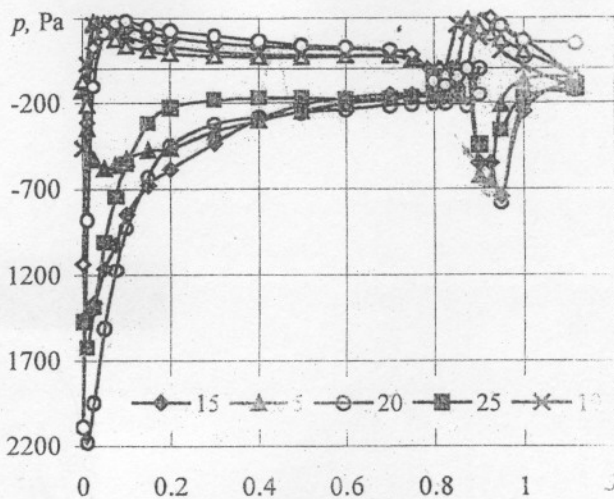


15 pav. Slėgio laukų pasiskirstymas profilio NACA 2315 su pakreiptu  $\delta = 30^\circ$  tūpimo skydeliu aplinkoje, kai atakos kampus  $\alpha = 15^\circ$

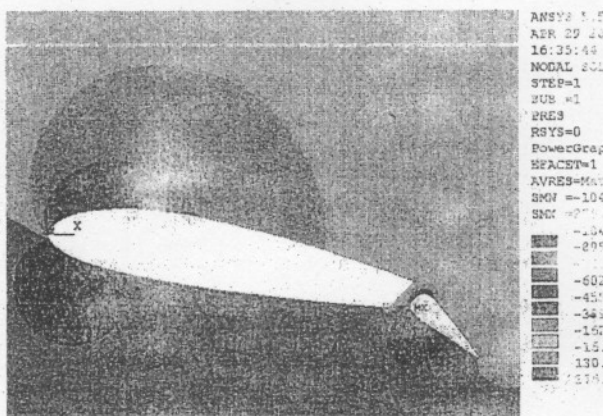
### 6.3. NACA 2315 profilio su plyšiniu užsparniu aptekėjimo tyrimas

Plyšinis užsparnis skirtas padidinti bendram profilio keliamosios jėgos koeficientui  $C_y$ . Jis padidėja pakreipus užsparnį tam tikru kampu  $\delta$ , dėl to padidėja santykinis profilio kreivumas, o pro tarp sparno ir užsparnio susidariusių plyšių pratekantis oro srautas uždelsia pasienio sluoksnio atitrūkimą. Dėl to padidėja kritinis atakos kampus, bendras profilio pasipriešinimas  $C_x$  ir aerodinaminis sukiimo momentas  $C_m$  padidėja, aerodinaminė kokybė  $K$  sumažėja.

Tirtas profilis NACA 2315 su plyšiniu užsparniu, esant šiemis geometriniams parametrams: profilio chordos ilgis  $l = 1$  m; užsparnio ilgis 20% profilio chordos ilgio; užsparnio atlenkimo kampus  $\delta = 30^\circ$ . Kiti geometriniai duomenys ir kraštinių sąlygos tokie pat kaip ir tiriant profilio NACA 2315 aptekėjimą. Kai plyšinis užsparnis pakreiptas  $\delta = 30^\circ$  kampu, palyginti su profiliu be užsparnio, maksimalus keliamosios jėgos koeficientas  $C_y$  padidėja 12.9%, nuo 1.54 iki 2.0 (7 pav.). Minimalus pasipriešinimo jėgos koeficientas  $C_x$  esant atlenktam užsparniui padidėja 20%, nuo 0.01 iki 0.05 (8 pav.). Aerodinaminio sukiimo



16 pav. Slėgio pasiskirstymas NACA 2315 profilio su plyšiniu užsparniu paviršiuje, esant, įvairiems atakos kampams  $\alpha$



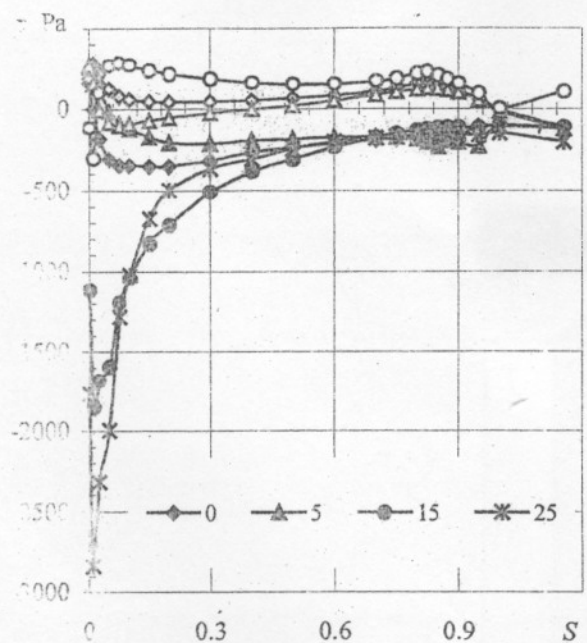
17 pav. Slėgio laukų pasiskirstymas profilio NACA 2315 su  $\delta = 30^\circ$  kampu pakreiptu plyšiniu užsparniu aplinkoje, kai atakos kampus  $\alpha = 10^\circ$

momento koeficiente  $C_m$  priklausomybė nuo atakos kampo pavaizduota 9 paveiksle. Maksimali aerodinaminė kokybė profilio su plyšiniu užsparniu sumažėja 13.6%; nuo 21.5 iki 15.8 (10 pav.). Slėgio pasiskirstymas NACA 2315 profilio su plyšiniu užsparniu paviršiuje esant skirtiniems atakos kampams, atvaizduota 16 pav., o slėgio laukų išdėstymas profilio aplinkoje - 17 pav.

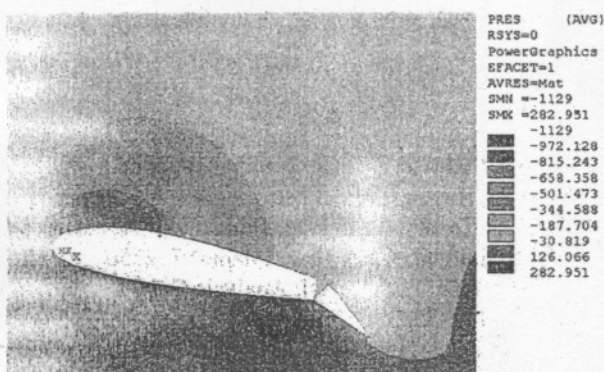
### 6.4. NACA 2315 profilio su paprastu užsparniu aptekėjimo tyrimas

Paprastas užsparnis naudojamas sparno profilio keliamosios jėgos koeficientui  $C_y$  padidinti.  $C_y$  padidėjimui pasiekiamas pakreipiant profilio galinę dalį tam tikru kampu  $\delta$  žemyn. Pakreipus paprastą užsparnį, padidėja bendras profilio kreivumas ir ties užsparniu susidaro išrečėjimo zona. Koeficientas  $C_y$  padidėja, o pasipriešinimo jėgos koeficientas  $C_x$  sumažėja lyginant su tūpimo skydeliu.

Tyrimai buvo atliekami su NACA 2315 profiliu ir 20% stigos ilgio užsparniu, pakreipimo kampus  $\delta = 30^\circ$ . Kiti geometriniai duomenys ir kraštinių sąlygos tokios pačios kaip ir NACA 2315 tyrimo atveju. Gautos prieziūros NACA 2315 su paprastu užsparniu aerodinaminės charakteristikos: maksimalus keliamosios jėgos koeficientas  $C_y = 2.1$  padidėjo 13.6%; palyginant su profiliu be užsparnio



18 pav. Slėgio pasiskirstymas profilio paviršiuje NACA 2315 su pakreiptu  $\delta = 30^\circ$  paprastu užsparniu, esant įvairiems atakos kampams  $\alpha$



19 pav. Slėgio laukų pasiskirstymas profilio NACA 2315 su pakreiptu  $\delta = 30^\circ$  paprastu užsparniu aplinkoje, kai atakos kampus  $\alpha = 10^\circ$

(7 pav.), minimalius pasipriešinimo jėgos koeficientas  $C_x = -0.046$  padidėjo 21.8% (8 pav.); aerodinaminis sukimo momento koeficientas esant nulinėi keliamajai jėgai  $C_{m0} = 0.19$ , padidėjo 19 kartų (9 pav.), maksimali aérodinaminié profilio kokybė  $K=19.1$ , (sumažėjo 11.2%) (10 pav.); kritinis atakos kampus sumažėjo 23.8% ( $\alpha_{kr} = 16^\circ$ ). Slėgio pasiskirstymas NACA 2315 profilio paviršiuje su paprastu užsparniu, esant įvairiems atakos kampams, pavaizduota 18 pav., slėgio laukų išsidėstymas pavaizduotas 19 pav.

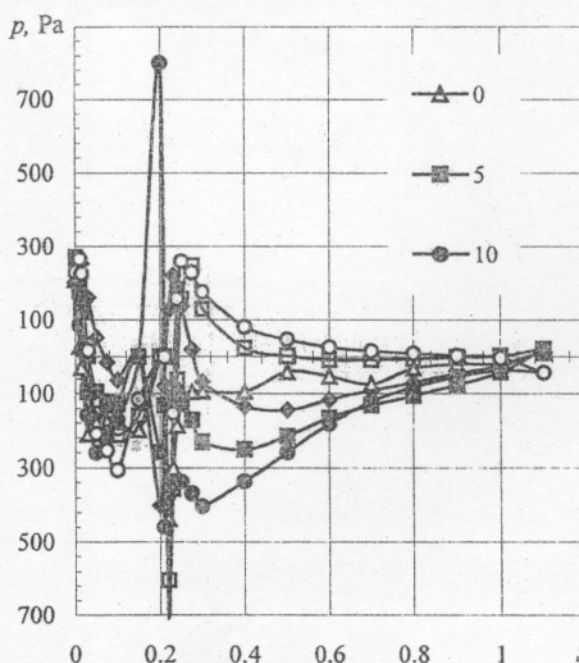
#### 6.5. NACA 2315 profilio su priešsparniu aptekėjimo tyrimas

Priešsparnis – tai profilio formos elementas, esantis prie sparno priekinę briauną. Priešsparnis naudojamas kritiniam profilio atakos kampui padidinti, ko pasėkoje išauga maksimali aerodinaminė keliamoji jėga. Oro srautas, pratekantis pro tarp priešsparnio ir sparno esanti siaurejanti plūsi, padidina pasienio sluoksnio kinetine energiją ir atitolina pasienio sluoksnio atitrūkimo tašką iki briaunos link. Be to, pats priešsparnis, aptekamas

kaip atskiras sparnas, sukuria papildomą keliamają jėgą, todėl pasikeičia viso sparno aerodinaminės charakteristikos.

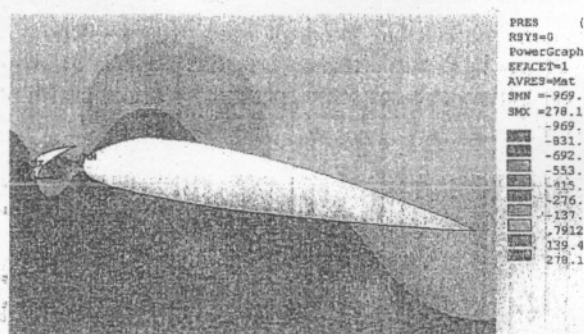


20 pav. Priešsparnio padėties parametrai profilio atžvilgiu:  $a = 80 \text{ mm}$ ,  $B = 20 \text{ mm}$ ,  $C = 40 \text{ mm}$ .



21 pav. Slėgio pasiskirstymas profilio paviršiuje NACA 2315 su priešsparniu, esant įvairiems atakos kampams  $\alpha$

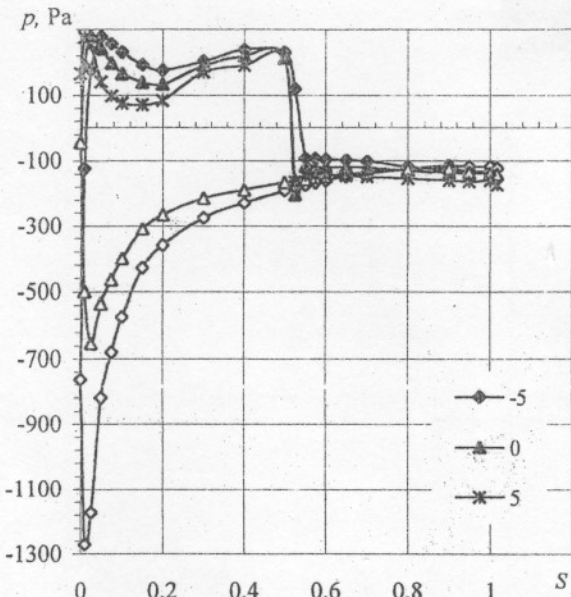
Priekinė priešsparnio dalis tokia pati, kaip ir NACA 2315 profilio. Priešsparnio padėties parametrai profilio atžvilgiu pavaizduoti 20 paveiksle. Profilio geometrija ir kraštiniés sąlygos tokios pat kaip ir tiriant NACA 2315 profilio.



22 pav. Slėgio laukų pasiskirstymas profilio NACA 2315 su priešsparniu aplinkoje, kai atakos kampus  $\alpha = 10^\circ$

Gautos profilio NACA 2315 su priešsparniu aerodinaminės charakteristikos: maksimalus keliamosios jėgos koeficientas  $C_y = 1.94$  (padidėjo 25.9% palyginant su profiliu be priešsparnio) (7 pav.), minimalius pasipriešinimo jėgos koeficientas  $C_{x,min} = 0.035$  (padidėjo 21.8%) (8 pav.), aerodinaminis sukimo momento koeficientas  $C_m$  esant nu-

linei keliamajai jégai  $C_{m0} = 0.035$  (padidėjo 35 % lyginant su profiliu be priešsparnio) (9 pav.); maksimali aerodinaminė profilio kokybė  $K = 19.1$  (sumažėjo 11.2 %) (10 pav.), kritinis atakos kampus  $\alpha_k = 26^\circ$  (padidėjo 23.8%). Slėgio pasiskirstymas NACA 2315 profilio paviršiuje su priešsparniu, esant įvairiems atakos kampams, pavaizduota 21 pav., slėgio laukų išsidėstymas profilio aplinkoje pavaizduota 22 pav.

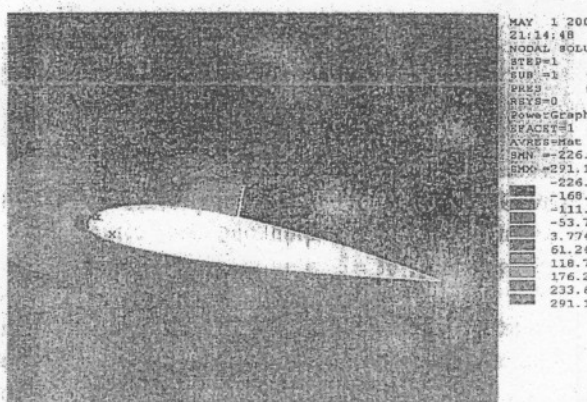


23 pav. Slėgio pasiskirstymas profilio NACA 2315 su interceptorium paviršiuje, esant įvairiems atakos kampams  $\alpha$

#### 6.6. NACA 2315 profilio su interceptorium aptekėjimo tyrimas

Interceptorius yra sparno elementas, statmena oro srautui plokšteli, skirta bendram profilio pasipriešinimo koeficientui žymiai padidinti, kartu sumažinti profilio aerodinaminių kokybių. Interceptorius efektyvumas daugiausia priklauso nuo jo ploto ir padėties profilio stygos atžvilgiu.

Atliekant tyrimus interceptoriaus aukštis sudarė 50% profilio aukščio, interceptoriaus padėtis – 50% profilio stygos ilgio nuo priekinės briaunos. Profilio geometrija ir aptekėjimo sąlygos tokios pat kaip ir tiriant profilių NACA 2315.



24 pav. Slėgio laukų pasiskirstymas profilio NACA 2315 su interceptorium aplinkoje, kai atakos kampus  $\alpha=10^\circ$

Gautos profilio NACA 2315 su interceptorium aerodinaminės charakteristikos: maksimalus keliamosios jégos koeficientas  $C_y = 1.1$  sumažėjo 28.6% palyginant su profiliu be interceptoriaus (7 pav.); minimalus pasipriešinimo jégos koeficientas  $C_x = 0.145$  (8 pav.); aerodinaminis sukimo momento koeficientas, esant nulinėi keliamajai jégai,  $C_{m0} = 0.01$  (9 pav.); maksimali aerodinaminių promių kokybė  $K = 3.9$  – sumažėjo 81.9% (10 pav.). Slėgio pasiskirstymas NACA 2315 profilio paviršiuje su interceptorium, esant įvairiems atakos kampams, atvaizduota 23 pav., slėgio laukai pavaizduoti 24 pav.

#### 7. Išvados

1. Atlikta analizė parodė, kad gautos aerodinaminių charakteristikos gerai atitinka eksperimento aerodinaminiame vamzdyme rezultatus.

2. Pastebėti šie baigtinių elementų metodo pranašumai, palyginti su analitiniais metodais: galima tirti sudėtingos geometrijos profilių aptekėjimą, įvertinamas pasienio sluoksnio efektas, srauto atitrūkimas, galimybė tikslinės procesus profilio aplinkoje ("aerodinaminių šešelio" itaka interferencija, ekrano efektas).

3. Tyrimo metu pastebėtas didelis rezultatų jautrumas elementų esančių pasienio sluoksnio zonoje diskretizacijai. Didėja skaičiavimo laiko sąnaudos (apie 12–18 val.).

#### Literatūra

- Лойцянский Л.Г. Механика жидкости и газа.-Москва: Наука, 1978.-178с.
- ANSYS Theory Reference, Fluid Flow Fundamentals, Eighth Edition, SAS IP Inc. Chapter 7.-285p.
- ANSYS CDF FLOTTRAN, Analysis Guide, 3rd Edition. SAS IP Inc.-75p.
- Седов Л.И. Плоские задачи гидродинамики и аэrodинамики.-Москва: МАИ, 1980.-163с.
- Erkki Seinne, Validation of Navier - Stokes Computation and a Transition Model.-XXVI OSTIV Congress - Bayreuth, Germany, 1995, p.1-10.
- Абрамович Г.Н. Прикладная газовая динамика.-Москва: Наука, 1976.-100с.
- Характеристики авиационных профилей.-Москва: ЦАГИ, 1936.-238с.
- Нугманов Х. Численные методы расчета обтекания профиля несжимаемым потоком.-Казань: КАН, 1986.-3с.

A. Šulskis, R. Barauskas

#### KLAMPAUS NESPŪDAUS PLOKŠČIOJO SRAUTO TEKĖJIMO APIE AERODINAMINIUS NACA 2315 PROFILIUS ANALIZĖ BAIGTINIŲ ELEMENTŲ METODU

#### Reziumė

Straipsnyje pateikta aerodinaminių profilių apmekamų klampaus nespūdaus srauto charakteristikų analizė naudojant baigtinių elementų metodo pagrindu sudaryto skaitinėj modelių naudojantis ANSYS 5.5 programų paketo priedą FLOTTRAN. Turbulentinis srautas aprašomas stan-

lėtinis  $\kappa-\varepsilon$  modeliu. Modelis patikintas palyginus plokščios plokštelių aerodinamines charakteristikas (keliamosi, pasipriešinimo jėgų bei aerodinaminio sukimo momento koeficientai) su charakteristikomis aerodinaminiaiame vamzdyje. Gauti rezultatai gerai atitinka eksperimento reikšmes.

A. Šulskis, R. Barauskas

#### FINITE ELEMENT ANALYSIS NON COMPRESSIBLE TURBULENT FLOW AROUND AIRFOLS

##### Summary

This paper deals with the airfoils analysis using finite element method. The utilized ANSYS/FLOTTRAN solves the two-dimensional viscous non-compressible flow round flapped airfoil. The turbulent boundary layer effect is appreciated. Standard  $\kappa-\varepsilon$  turbulence model was employed in the computations. Verification of the calculation was carried out by the comparison of rectangle plate aero-dynamical characteristic with wind tunnel data. The computed lift, drag and pitching moment coefficients are compared with existing wind tunnel data.

The lift, drag and pitching moment coefficients matched well the experiments data.

A. Šulskis, R. Barauskas

#### АНАЛИЗ ОБТЕКАНИЯ АЭРОДИНАМИЧЕСКИХ ПРОФИЛЕЙ ВЯЗКИМ НЕСЖИМАЕМЫМ ПОТОКОМ ИЗПЛЬЗУЯ МЕТОД КОНЕЧНЫХ ЭЛЕМЕНТОВ

##### Резюме

В работе рассматриваются расчет и анализ характеристик аэродинамических профилей. В расчетах использована численная модель на основе метода конечных элементов (программный пакет ANSYS/FLOTTRAN). Правдивость модели проверена сравнив расчетные результаты с данными экспериментов в аэродинамической трубе. Анализ показал, что результаты, полученные используя метод конечных элементов, совпадают с экспериментальными данными.

Įteikta 2000 11 27